УДК 550.42+550.89+551.21+552.3+552.112+553.212+546.212+549.691

ПРОТОСПУТНИКОВЫЙ ДИСК ВОКРУГ ЮПИТЕРА: P-Т ПАРАМЕТРЫ А.Б.Макалкин, В.А.Дорофеева*.

Объединенный Институт физики Земли РАН, г. Москва *Институт геохимии и аналитической химии им. В.И.Вернадского РАН, г. Москва Работа выполнена при поддержке Российского фонда фундаментальных исследований, грант 98-05-64943.

Вестник ОГГГГН РАН № 2(12)′2000, т. 2

URL: $http://www.scgis.ru/russian/cp1251/h_dgggms/2-2000/empg_99/planet_5.htm#begin$ © 2000 ОИФЗ РАН, ОГГГГН РАН

Исходные данные. Исследования образования Юпитера в околосолнечном диске (солнечной туманности) выявили следующие основные стадии (Сафронов, Рускол, 1982; Поллак и др., 1996; Рускол, Сафронов, 1998). Первая стадия продолжительностью 10⁷ лет - рост зародыша планеты до критической массы около $30 M_{\oplus}$.. Зародыш состоит из твердого ядра ($\approx 10~M_{\oplus}$) и газовой оболочки. После достижения растущей планетой критической массы, наступает стадия аккреции. Она начинается с быстрой аккреции газа в течение 10^4 лет, затем продолжается в течение периода $t_a = 10^6 - 10^7$ лет до окончания образования планеты. Масштаб времени 10^7 лет для образования Юпитера согласуется с временами жизни газопылевых дисков вокруг молодых звезд солнечного типа. Пылевые частицы и планетезимали падали на растущий Юпитер вместе с газом. Минимальный планетоцентрический удельный угловой момент выпадавшего вещества составляет $\Gamma \approx \Omega_J \, r^2_{H}/4$ (Рускол, 1982), где Ω_J - угловая скорость орбитального движения Юпитера, r_H - радиус сферы гравитационного влияния Юпитера (сферы Хилла), r_H = $R_{J}(M_{J}/3M_{\odot})^{1/3}$, R_{J} расстояние Юпитера от Солнца, M_{J} и M_{\odot} - массы Юпитера и Солнца. Часть падающего вещества должна образовывать диск вокруг Юпитера. Его радиус r_d , оцениваемый путем приравнивания центробежной и гравитационной сил, составляет $r_d \approx r_H/48$, то есть около $20r_J$, где r_J - современный радиус Юпитера. Образование Галилеевых спутников в юпитерианском диске с определенностью следует из их регулярно расположенных круговых орбит, лежащих в экваториальной плоскости Юпитера, и из совпадения направления их орбитального движения с направлением вращения Юпитера. Из наблюдений получено, что протопланетные диски вокруг молодых звезд солнечного типа с возрастами $\leq 10^6$ - 10^7 лет являются аккреционными дисками, то есть, радиальный поток массы через диск M падает на звезду (Беквиз и Саржент, 1996). Сходство регулярной спутниковой системой Юпитера с такими же системами у других планет-гигантов и солнечной планетной системой является сильным аргументом в пользу аккреционной модели протоспутникового диска вокруг Юпитера. В этой модели вещество лиска получается непосредственно из вещества солнечной туманности, поступающего в сферу Хилла вокруг Юпитера. Турбулентная вязкость приводит к перераспределению вещества диска таким образом, что большая часть его движется к Юпитеру, а меньшая часть, в соответствии с законом сохранения углового момента, движется в сторону от Юпитера и увеличивает радиус диска. Наши оценки показывают, что он вполне может достичь 30-40 г. Регулярные спутники могли образоваться только на поздней стадии аккреции (Harris, 1978).

Модель. Ранее мы разработали и рассчитали модель протопланетного аккреционного диска вокруг молодого Солнца (Макалкин, Дорофеева, 1995, 1996). Теперь мы обобщаем эту модель, чтобы рассчитать основные физические параметры протоспутникового диска вокруг Юпитера (юпитерианской субнебулы). Мы принимаем α-параметризацию величины ν,

турбулентной вязкости диска: $v = \alpha \, c_s \, h$. Здесь c_s -скорость звука в экваториальной плоскости, h - высота однородной атмосферы по давлению, равная c_s/Ω , где $\Omega = (GM_s/r^3)^{1/2}$ - угловая скорость на планетоцентрическом расстоянии r. В уравнения переноса углового момента и вязкой диссипации энергии внесены изменения для того, чтобы учесть гораздо более высокое отношение радиуса Юпитера к радиусам спутниковых орбит по сравнению с отношением радиуса Солнца к радиусам планетных орбит. В рассмотрение включены два источника нагрева диска: вязкая диссипация внутри диска и облучение диска молодым Юпитером и Солнцем. Относительный вклад облучения диска в его нагрев может быть для юпитерианского диска намного больше, чем для солнечного. При расчете облучения мы учитываем высоту и кривизну оптической поверхности диска. При расчете вертикальной структуры диска мы используем уравнения гидростатического равновесия и переноса тепла. Поскольку перенос тепла в диске с помощью излучения в 7-10 раз больше, чем с помощью турбулентности (Макалкин, Дорофеева, 1995), распределение температуры определяется непрозрачностью вещества диска. Мы аппроксимируем зависимость непрозрачности от температуры кусочно-непрерывной степенной функцией $\kappa = \kappa_0 T^\beta$ с различными κ_0 и β в трех температурных диапазонах: ниже температуры конденсации воды T_w , где в формировании непрозрачности доминируют частицы льда; между T_w и наибольшей из температур

конденсации форстерита, энстатита, и металлического железа T_{si} где доминируют частицы Mg-силикатов и железа; наконец, выше T_{si} , где доминирует молекулярный водород.

Основными варьируемыми входными параметрами нашей модели являются поток массы через диск на Юпитер M (скорость аккреции) и параметр вязкости α . Для минимального значения потока массы M можно дать оценку $M \sim M_d/t_a$, где M_d - минимальная масса диска, необходимая для образования Галилеевых спутников. Она равна полной массе спутников M_s , деленной на массовую долю сконденсированного вещества f_c . В юпитерианской зоне солнечной туманности H_2O находилась в твердом состоянии, а C и N в основном входили в состав газа. В этом случае для солнечной пропорции элементов $f_c \approx 0.01$. Таким образом мы получаем оценку M для диска на основной аккреционной стадии: $M=10^{14}-10^{15} \mathrm{г/c}$. Еще два входных параметра - светимость и радиус молодого Юпитера L_{yJ} и r_{yJ} . Для поздней стадии аккреции, подходящей для образования спутников, оценки Сафронова и Рускол (1982) дают $L_{yJ} \approx 1000$ L_{J} аnd $r_{yJ} \approx 1.4$ r_{J} , где L_{J} - современная светимость Юпитера. Эти величины соответствуют моменту времени $t=10^{7}$ лет, когда 80% от полной массы было аккумулировано планетой.

Результаты. Были рассчитаны две модели диска. В модели I распределение температуры в диске мы приводим в соответствие с содержанием воды в Галилеевых спутниках. Чтобы добиться этого, мы варьируем вязкость диска так, чтобы температура в экваториальной плоскости диска оказалась равной температуре испарения водяного льда вблизи (но не дальше) орбиты Ганимеда. Поскольку температура в экваториальной плоскости выше, чем вне ее, некоторая доля льда сохраняется в диске до меньших радиальных расстояний вплоть до орбиты Европы. Чтобы получить такую модель, вязкость должна быть умеренно высокой: $\alpha \approx 10^{-3}$. Радиальная скорость течения газа и пыли внутрь диска на расстоянии Европы равна $v_r \approx v/r \approx 7$ см с⁻¹. Температуры и давления для модели I показаны на Рис.1 кривыми, обозначенными I. В этой модели вещество нагревается и фракционно испаряется по мере его дрейфа в сторону Юпитера. Давление в диске оказывается довольно низким, как и полная масса диска. В любой момент полная масса твердого вещества M_s составляет $\sim 10^{-3}$ от полной массы Галилеевых спутников M_G . Но величина потока массы M позволяет аккумулировать необходимую массу твердого вещества в спутниках за время жизни диска, если большинство твердых частиц и тел, хотя и движутся в сторону Юпитера вместе с газом, но не покидают диска благодаря высокой эффективности их захвата растущими зародышами спутников.

Альтернативная модель 2 - массивный диск с $M_s \approx M_G$. Масса диска составляет $M_d \approx M_s/f_c \approx 6 \times 10^{28}$ г. Столь большая масса может быть достигнута на поздней стадии аккреции Юпитера, если принять, что вязкость диска в 10^4 раз ниже ($\alpha \approx 10^{-7}$), чем в модели I. Благодаря малой вязкости поток массы из диска на Юпитер оказывается меньше, чем приток массы в диск, поэтому масса диска нарастает. Как показывают расчеты P-T условий для этой модели (Puc.1, кривые 2), температура во внутренней области диска r<17 r_J равна температуре конденсации металлического железа, и она везде выше температуры конденсации воды. Для охлаждения диска и образования спутников в диске должно произойти затухание двух взаимосвязанных процессов: аккреции на Юпитер и вязкой диссипации. Еще одно условие для образования спутников - более высокие скорости процессов охлаждения диска и образования планетезималей по сравнению со скоростью диссипации газа из диска. Ввиду более высоких давлений в этой модели диска, конденсация происходит через жидкое состояние. Еще предстоит исследовать, какая из этих двух моделей является более перспективной для объяснения образования спутников.

Литература

Beckwh, S.V.W., and Surgent, A.I. 1996. Circumstellar disks and the search for neighbouring planetary systems. Nature 383, 139-144.

Harris, A.W. Satelle formation. II. 1978. Icarus 34, 128-145.

Makalkin, A.B., and Dorofeeva, V.A. 1995. Structure of the protoplanetary accretion disk around the Sun in the T Tauri phase: I. Inial data, equations, and methods of modeling. Solar System Res. 29, 85-104.

Makalkin, A.B., and Dorofeeva, V.A. 1996. The structure of the protoplanetary accretion disk around the sun at the T Tauri stage. II. Results of model calculations Solar System Res. 30, 440-455.

Pollack, J.B., Hubickyi, O., Bodenheimer, P., Lissauer, J.J., Podolack, M., and Greenzweig, Y. 1996.

Formation of the giant planets by concurrent accretion of solids and gas. Icarus 124, 62-85.

Ruskol, E.L. 1982. Origin of planetary satelles. Izvestiya Earth Phys. 18, 425-433.

Ruskol, E.L., and Safronov, V.S. 1998. Juper growth as an essential factor for the formation of the planetary system. Solar System Res. 32, 255-263.

Safronov, V.S., and Ruskol, E.L. 1982. On the origin and inial temperature of Juper and Saturn. Icarus 49, 284-286.

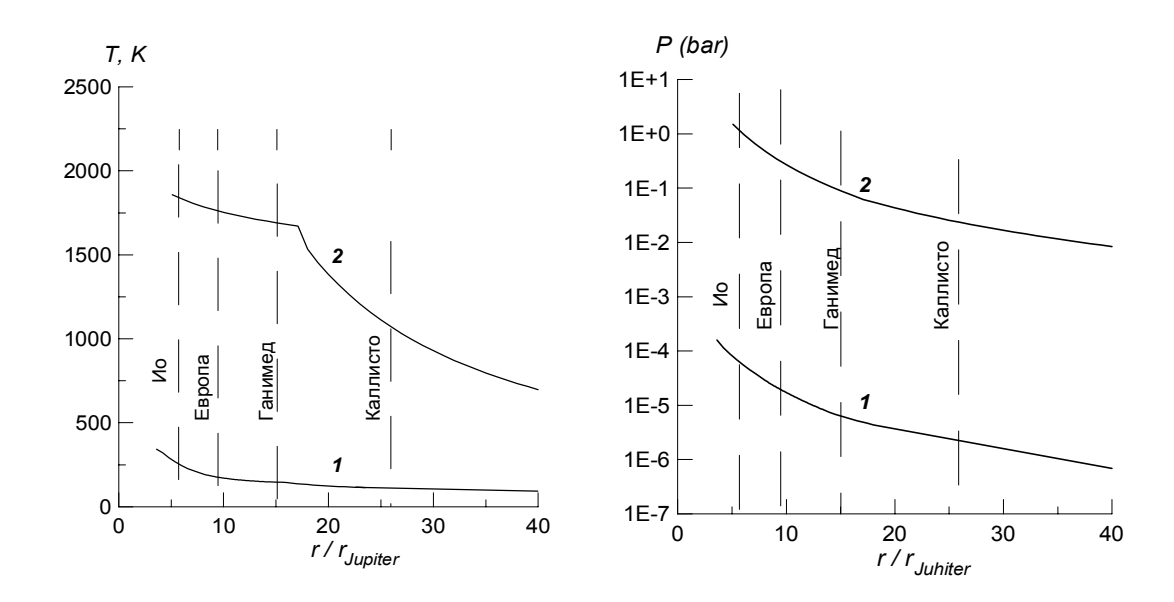


Рис. 1. Температуры и давления в экваториальной плоскости юпитерианского протоспутникового диска для моделей $\it I$ и $\it 2$ (см. текст). Отмечены радиусы орбит $\it \Gamma$ алилеевых спутников.